

高等学校教材

普通物理学

原子物理学部分

(修訂本)

苟清泉編

高等教 育出 版社

高等學校教材



普 通 物 理 学

原子物理学部分

(修訂本)

苟清泉 編

高等 教育 出 版 社

本书第一版是根据編者几年来在吉林大学物理系讲授“普通物理学”課程中原子物理学部分的讲义修改补充而成的。第二版对原有的第六章和第七章作了較大的修改和补充，其余五章作了校正工作。全书共七章，主要內容是：原子結構与原子光譜，量子力学概要，分子結構与分子光譜。

本书可作为綜合大学及高等师范学校物理系各专业“普通物理学”課程原子物理学部分的教材，也可供高等工业学校的相近专业选用。

本书原由人民教育出版社出版。現經上級決定，自 1965 年 1 月 1 日起，另行成立“高等教育出版社”；本书今后改用高等教育出版社名义继续印行。

普通物理学

原子物理学部分

(修訂本)

苟清泉編

北京市书刊出版业营业許可證字第119号

高等教育出版社出版(北京景山东街)

人民教育印刷厂印裝

新华书店北京发行所發行

各地新华书店經售

统一书号 K13010·955 开本 850×1168 1/32 印张 7 1/4

字数 180,000 印数 71,501—78,500 定价 (6) ￥0.75

1961年7月第1版 1964年8月第2版 1965年3月北京第10次印刷

第二版序言

本书是 1961 年 7 月出版的普通物理学“原子物理学部分”上册的修訂本。根据一年多以来試用的經驗和最近新訂教學計劃的要求，有必要对原书进行一次修訂，特別是原子核物理部分需要作較大的修改和补充。根据新近修訂的物理学专业教學計劃的規定，原子物理学与原子核物理学在普通物理学課程中应作为两个独立的部分。故这次修訂时，决定把原书分成“原子物理”与“原子核物理”两个独立的专册出版。原书的原子物理部分是由我执笔編写的，原子核物理部分是由吳知非同志执笔編写的。現在决定由我負責把原子物理部分加以修訂出专册。原子核物理部分将由吳知非同志負責修訂，另出专册。

由于这次修訂的时间很短促，来不及进行較全面的修訂工作，同时也为了尽可能利用原有的版面起見，只对需要修訂較多的第六章(量子力学概要)和第七章(分子結構与分子光譜)作了較大的修改和补充，其余五章只作了校正工作。待以后有机会再版时，再根据使用經驗进行較全面的修訂。

此次修訂时增加了若干內容。例如，在第六章中，增加了測不准关系式，討論了經典理論对于微观粒子的应用范围，并說明了玻尔轨道概念的缺陷；增加了綫性諧振子，以便为下一章讲分子的振动作准备；增加了对势垒的穿透和隧道效应，为以后原子核物理部分中讲 α 蠕变作准备。在第七章中增加了夫兰克-康登原理，并对原有的若干节进行了修改和补充。

在这一次修訂之前，有好些使用过本书的教师和学生曾主动热誠地向作者指出书中若干印刷上的錯誤和讲解不够清楚的地

方，并提出了若干宝贵意见。例如，北京大学教授虞福春同志和西安石油学院张金钟同志等，对内容的选择安排和讲解上都曾提出过若干具体建议和宝贵意见，对修订工作有很大的帮助。黄树勋同志帮助校阅了全书。作者对这些同志们的热诚帮助，表示十分感谢。

苟清泉

1963年2月10日于吉林大学

目 录

第二版序言	1
緒論	1
第一章 原子結構初期理論的實驗基礎	6
§ 1.1. α 粒子的散射實驗和原子的核模型(6) § 1.2. 原子光譜的實驗規律(20) § 1.3. 夫兰克与赫茲的實驗(26)	
第二章 氢原子	30
§ 2.1. 玻尔的基本假設(31) § 2.2. 玻尔的氢原子理論(34) § 2.3. 类氢离子的光譜(43) § 2.4. 由于原子核运动所引起的效应(46) § 2.5. 氢原子的椭圆轨道(53) § 2.6. 空間量子化(60) § 2.7. 原子磁矩与史特恩-盖拉赫實驗(66) § 2.8. 正常塞曼效应(69) § 2.9. 索末菲的相对論修正(75) § 2.10. 玻尔的对应原理(84) § 2.11. 玻尔理論的地位和局限性(89)	
第三章 多电子原子	91
§ 3.1. 碱金属原子結構及其光譜(92) § 3.2. 碱金属光譜的双綫结构与电子自旋(107) § 3.3. 电子自旋与轨道运动間相互作用能的計算(116) § 3.4. 氢原子光譜綫的精細結構(120) § 3.5. 原子的矢量模型(125) § 3.6. 具有两个价电子的原子底光譜(130) § 3.7. 反常塞曼效应(135)	
第四章 門捷列夫周期系与原子的电子壳层結構	141
§ 4.1. 門捷列夫周期系(141) § 4.2. 泡利原理和电子壳层結構(146) § 4.3. 电子壳层的建造(149)	
第五章 倫琴光譜	158
§ 5.1. 倫琴射綫(158) § 5.2. 連續倫琴光譜(161) § 5.3. 線状倫琴光譜(162) § 5.4. 倫琴吸收光譜(167)	
第六章 量子力学概要	168
§ 6.1. 德布罗意的假設(168) § 6.2. 德布罗意假設的實驗验证(169) § 6.3. 粒子的波函数与薛定諤方程式(172) § 6.4. 測不准关系和經典理論对于微观粒子的应用范围(176) § 6.5. 粒子在方匣中的运动(180) § 6.6. 对势坎的反射和透入(183) § 6.7. 对势垒的穿透(188) § 6.8. 線性諧振子(192) § 6.9. 量子力学对氢原子問題的处理(195) § 6.10. 氢原子的基态(199)	
第七章 分子結構与分子光譜	202
§ 7.1. 分子的形成(202) § 7.2. 分子光譜的特点(205) § 7.3. 分子的振动光譜(206) § 7.4. 分子的轉动光譜(213) § 7.5. 分子的电子振轉光譜(218) § 7.6. 分子的离解能(221) § 7.7. 夫兰克-康登原理(223) § 7.8. 分子的电子状态(226) § 7.9. 光的并合散射現象(228) § 7.10. 液体与固体的发光(233)	

緒論

在古代的希腊和羅馬就已萌芽了的原子論，在整个物理学发展史中是一个进步的、与唯物論的科学思潮相适应的理論。在十八世紀的 40 年代，罗蒙諾索夫就发展了物质底原子动力論，证明热現象是由于原子底运动。物理学和化学进一步的发展，证实了物质的結構是不連續的，但不能从这里得出物质是由絕對简单的和不可分割的原子所組成的結論。可是曾有許多科学家认为只用不可分割的原子微粒的結合，就能够說明实际世界底全部多样性，而且认为原字是物质底最后的“本质”。这种观点不是从实验得出的。辩证唯物論斷定客观存在着的世界是不可穷尽地多种多样的，而我們关于它的知識永远是近似的，但却逐渐地深化和愈益准确，不但原子是不可穷尽的，电子和其他基本粒子也都是不可穷尽的，二十世紀物理学的发展史完全证实了这个观点。

著名的俄国化学家門捷列夫所发现的周期律是具有重大意义的，周期律指出了各种化学元素的原子間互相关联的性质，是建立原子結構理論时的一个指导原則。下面，我們就要簡略地說明原子結構理論的发展过程。

在 1897 年前后，科学家們逐渐地确定了电子的各种基本特性，并确立了电子是各种化学元素的原子的共同組成部分。既然一切原子中都有带负电的电子，那么原子中就必然有带正电的物质，这說明原子是一个复杂的带电系統。从实验和理論两方面来研究原子本身的結構、內在的規律性和原子現象的应用等，就形成了原子物理学的丰富內容，在研究原子結構中首先要解决的問題就是原子中带正电的物质的分布情况。二十世紀初期，对这一問

題曾提出了两种不同的假設。

第一种假設是湯姆孙在 1903 年提出的，他假設原子中的正电荷以均匀的体密度分布在一个大小等于整个原子的球体内，而带负电的电子則一粒粒地在球內不同的位置上分布着，并可以分別地以某种頻率在各自的平衡位置附近振动，从而发出电磁辐射，辐射的頻率就等于电子振动的頻率。这个模型和实验的結果相矛盾，所以很快地就被放棄了。

第二种假設是卢瑟福于 1912 年提出的，他假設原子中心是一个重的带正电的核，电子圍繞这核轉动，与太阳系的构造相似。与整个原子的大小相比，核是很小的。这种模型叫做原子底核模型，是卢瑟福在他所做的著名实验即 α 粒子散射实验的基础上提出来的，同时也和其他实验結果符合，所以很快地就被公认了。

經典的电磁理論是与原子的核模型有矛盾的。因为根据經典电磁理論，繞核旋轉的电子有加速度，应当自动地放出辐射能来，放出辐射能时，原子的能量要逐渐地减少，頻率也逐渐地改变，因而发射光譜是連續光譜，同时电子因能量的逐渐减少要逐渐地接近原子核而最后和核碰上，因此使原子成为一个不稳定的系統。但事实上原子是稳定的，原子所发射的光譜是綫状的而不是連續的。这些事实說明了从研究宏观現象而确立的經典理論，不能适用于原子中的微观过程，因而就需要进一步分析原子現象，探索原子内部的規律性，并建立适合于微观过程的原子理論。

原子的发光現象是与原子内部结构有密切联系的，因此为了要探索原子内部的規律性，也必須对光的本性有进一步的了解。經典的电磁波理論能够很好地解釋反射、干涉……等光在傳播过程中所表現的現象，但在受热物体的发光現象——热辐射——中，經典理論就遇到了困难，不能解釋全部实验結果。为了解决这个問題，德国物理学家普朗克于 1900 年提出了量子假說，他假設受热

物体中振动着的带电粒子所可能具有的能量不是連續的，而是某一最小量值的整数倍，带电粒子所放出的或吸收的能量也仅是这最小能量的整数倍。这个假說很成功地說明了热輻射現象。

当紫外光这一类波长較短的光綫照射在金屬表面上时，金屬中有电子逸出来，这現象称为光电效应。經典的理論更不能解釋这种現象。为了解决这个問題，愛因斯坦于 1905 年提出了光子的假設，他假設光是由一顆一顆具有一定质量、能量和动量的粒子所組成的粒子流，这种粒子称为光子。这个假設能够很好地解釋光电效应，使量子論又向前推进了一步。

原子所发射的綫光譜和原子內部结构的关系問題也是經典理論无法解答的。1913 年，丹麦物理学家玻尔 (N. Bohr) 在卢瑟福所提出的核模型的基础上，发展了量子概念，提出了有关原子結構的假設。他假設原子所可能具有的能量形成不連續的能級，当原子的能級发生跃迁时，就发射出一定頻率的光。玻尔的假設能够說明氢原子光譜等某些原子現象，有相当地成功；但对原子問題作进一步的研究时，也显示出这理論有很大的缺点。

在 1924 年德布罗意 (De Broglie) 提出了粒子的波动性的假設后，薛定諤 (Schrödinger) 和其他学者在这新的基础上建立起了量子力学，能很好的解釋原子現象，但这并不是說量子力学已經很完全地解决了原子問題。原子是不可穷尽的。由于實驗技术的不断发展，将能更进一步地認識原子現象，从而理論将进一步发展，比現在形式的量子力学能够更深入地反映原子的規律性。

原子物理学发展的次一阶段是研究原子核的内部结构。在 1896—1898 年間，法国物理学家貝克勒耳 (H. Becquerel) 發现鈾盐能够发出某种人眼所看不見的射綫来，这种現象称为天然放射性現象；接着瑪丽亚·斯克拉多芙斯卡·居里 (Marie Skłodowska Curie) 和彼埃耳·居里 (Pierre Curie) 夫妇发现具有放射性更强的

鑪元素。1902—1903年間卢瑟福等研究了天然放射線的組成及天然放射現象的規律性。這些事實說明了原子核是一個複雜體而且按照一定的規律運動變化着。

1919年，卢瑟福利用天然放射線中的 α 射線轰击氮原子，第一次得到了人为的核反应，并发现了质子。1932年，查德維克(Chadwick)发现了中子的存在。接着苏联物理学家伊凡宁科(Д. Д. Иваненко)提出了原子核是由质子和中子所組成的假設。科學家們在这一阶段中的工作初步奠定了原子核結構問題的基础。

1934年約里奧居里夫妇发现了人为的放射性核；劳倫斯用人工加速粒子产生了放射性核；費密用中子引起了核反应。这些研究打开了同位素应用和核反应研究的途径。

1939年哈恩和史特拉斯曼发现了重核的分裂，約里奧居里等人研究了鈾核分裂的鏈鎖反应，指出这类核反应中有巨大的能量发生。

1942年費密及其同事們建成了世界上第一个原子核反应堆，实现了原子核的鏈鎖反应，为原子能的利用及制备放射性同位素提供了条件。并提供了新的实验方法以研究核的结构。

1957年世界上最大的同步稳相加速器，可将质子加速到具有100亿电子伏特的能量。

由于高能物理的研究，最近几年在基本粒子物理方面也取得很大的成就，迄今已預見或發現了許多类型的基本粒子，关于基本粒子的理論方面的研究主要是以量子場論为基础。

在我国，关于近代物理的研究在1930年前后才略有开始，解放以前，散在全国各地的原子核科学硏究人員只有10人左右，設備方面，連一台小型的加速器也沒有，最简单的观测粒子用的計數管也不能生产。解放以后，在党的領導下，我国原子核物理学的研究得到了迅速的发展。1958年6月，我国建成了規模比較大的重

水型研究性反应堆，制成了能把 α 粒子加速到二千五百万电子伏特的迴旋加速器。利用这些加速器和反应堆进行着原子核物理、辐射化学、同位素制备、放射生物等方面的研究工作。在探测仪器方面，制成了核子乳胶和中子計数管及 β 、 γ 計数管等等。关于宇宙綫和高能物理方面，建立了宇宙綫實驗室，和觀測宇宙綫的設备，研究了重介子和超子的质量及衰变現象等。我国学者还参加了联合原子核研究所的研究工作，取得了若干重要成果。

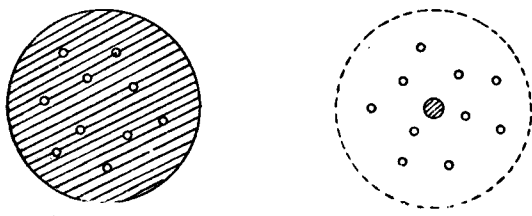
放射性化学和同位素应用的工作亦已建立起来，同位素的应用对于发展生产技术和各种基础科学的科学研究具有广泛的直接意义，我国社会主义工农业建設的迅速发展，給原子能科学展示了无限广闊的远景。

第一章 原子結構初期理論的實驗基礎

二十世紀初，經過相當長時期的探索後，對原子本身的結構和原子的內部規律才得到比較清楚的了解。本章中將介紹一些對探索原子內部結構和建立原子結構理論起直接作用的基本實驗和實驗規律。盧瑟福的原子的核模型和玻爾的原子結構理論就是在這些實驗的基礎上建立起來的。

§ 1.1. α 粒子的散射實驗和原子的核模型

緒論中曾指出，在二十世紀初期曾提出兩種不同的原子結構模型，一種是 1903 年湯姆孫提出的，他假設原子中的正電荷以均勻密度分布在一個大小等於整個原子的球體內，而電子則一粒一粒地分布在這球內的不同位置上。另一種是 1912 年盧瑟福提出的，他假設原子內部的正電荷聯繫著大的質量而集中在很小的中心體積內（即原子核），帶負電的電子則分布在與原子大小同數量級的封閉軌道上，繞核旋轉，像行星系一樣，對於中性原子，則所有電子所帶負電荷之和等於原子中心的正電荷。由於這個模型假設原子具有一个很小的帶正電荷的核心存在，故稱為原子的核



(1) 湯姆孫的模型

(2) 卢瑟福的模型

圖 1.1. 原子結構模型的示意圖，圖中小圓圈代表電子，斜線處代表正電荷的分布。

模型。

上面提出的两种模型，究竟哪一种正确，曾由 α 粒子的散射实验来检验。汤姆孙的模型和实验结果相矛盾，所以很快就被放弃了。显然这个模型带有人为的性质，因为在这模型中给与正电荷与负电荷以不同的性质：负电荷以单个的微粒（电子）存在，而正电荷则在甚大的体积内以均匀的体密度分布着。卢瑟福的原子的核模型就是在 α 粒子的散射实验的基础上提出来的，由这个模型出发所作的 α 粒子散射理论与实验结果符合得很好，所以这个模型很快地就被公认了。我们就要在下面叙述 α 粒子的散射实验。

α 粒子的散射实验是用下列原则设计出来的：用高能的 α 粒子去碰撞原子，使与原子发生相互作用并引起可以观察到的散射现象。分析和概括这些观察到的散射现象，可以逐步探索原子内部的结构，从而检验上面所述的原子模型是否正确。在这种实验中用的 α 粒子是从放射性元素中发射出来的原子量为 4 而带有双倍正的元电荷 $+2e$ 的氦离子，这样放射出来的 α 粒子速度高（达光速的 $1/15$ ），且其质量也较大，约为电子质量的 7400 倍；因而具有很高的能量。用这样的 α 粒子所组成的平行射线注通过很薄的金属箔（金、银或铜等）后，发生散射现象，即一些 α 粒子改变了原来的运动方向而偏转一个角度。 α 粒子的散射情况可用闪烁法直接观察，其原理是当单个的 α 粒子碰撞荧光屏时，能够使荧光屏发出光亮的闪光，用放大镜就可观察到这种闪光。 α 粒子通过金属箔后发生偏转的现象，可以设想是由于高能的 α 粒子深入到金属箔中的原子内部后与其中的正电荷或负电荷相互作用所引起的。由于 α 粒子的质量比电子的质量大很多倍，电子作用于 α 粒子上的力不能显著地改变 α 粒子的运动方向。所以 α 粒子的散射可以看作是由于受到原子内部的正电荷的斥力所产生的。 α 粒子的散射情况应当与原子内正电荷的分布情况有关系，故研究 α 粒子的散

射情況可以探索原子內正電荷的分布情況。

α 粒子散射實驗的裝置可用示意圖 1.2 表示。圖中 R 為一放

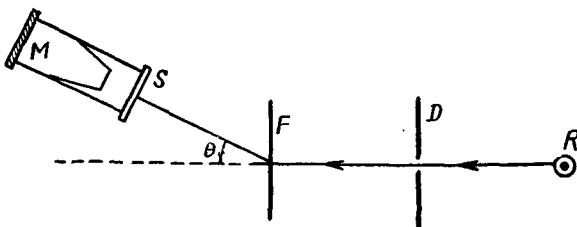


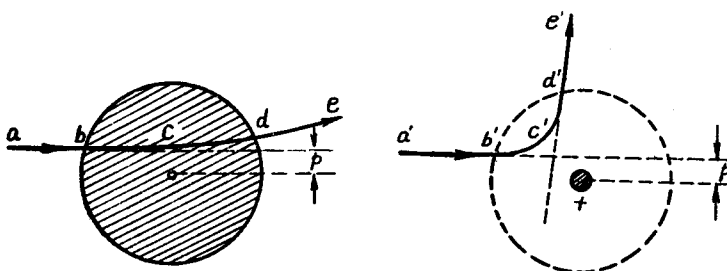
圖 1.2. α 粒子散射實驗的示意圖。

有少量放射性元素鎳 C(RaO) 的放射源，由其中放出的 α 粒子經過柵欄組 D 後，成為一束狹窄的均勻的 α 射線，通過金屬箔葉 F 後，由於各 α 粒子會受金屬箔中原子的不同影響，將沿着不同的方向散射。熒光屏 S 及放大鏡 M 可以沿着以 F 為中心的圓弧上移動。當 S 和 M 對準某一個方向時，通過 F 而在這個方向散射的 α 粒子就射到 S 上而產生閃光，用放大鏡 M 觀察閃光，就可把單位時間內在這個方向散射的 α 粒子數記錄下來。用這種方法就可以研究 α 粒子通過金屬箔葉後按不同的散射角 θ 的分布情況。為避免空氣分子對散射的影響， α 粒子的散射必須在真空中進行，故圖 1.2 所示的儀器除放大鏡外都應放在真空室內。

蓋革(Geiger)與馬斯敦(Marsden)在 1909 年按照上述的實驗方法發現大多數的 α 粒子經過金屬箔葉後偏轉的角度是不大的；但有少數 α 粒子偏轉的角度却很大，約有 8000 分之一的 α 粒子的散射角度超過 90° 以上，有的几乎達到 180° ，即和入射時相反的方向散射。

為什麼 α 粒子會發生大角度的散射？這與原子中正電荷的分布情況有密切關係。如果採用湯姆孫的原子模型，即假設原子的正電荷均勻地分布在整個原子中，它的半徑的數量級為 10^{-8} 厘米，

则由计算可知， α 粒子通过原子时不会发生实验中所观察到的大角度散射，汤姆孙的原子模型因此就被放弃了。只有原子的正电荷集中在很小的体积的情形下，排斥力才会大到使 α 粒子发生大角度的散射，卢瑟福就是根据这种情况提出了原子的核模型的。 α 粒子在两种不同的原子模型中散射的情况，可用示意图 1.3 表示。



(1) 汤姆孙原子模型

(2) 卢瑟福原子模型

图 1.3. α 粒子在两种原子模型中散射情况的比较。

在图中所示的两种情形中，投射情况一样，即投射方向与原子中心的最短距离均为 p ，称为“瞄准”距离；在 α 粒子尚未进入原子内的一段过程中，即 ab 及 $a'b'$ ，在两种模型下所受的斥力都一样，但在进入原子内部后，在两种模型下所受的斥力就大不一样了。在汤姆孙模型的情况下， α 粒子进入原子后所受的斥力愈来愈小，如图 1.4 所示，当 α 粒子进入原子内离中心 r 远时所受的斥力是包含在半径为 r 的球体内的正电荷所给与的；设原子的半径为 a ，所含的正电荷为 Ze ， Z 为一整数，则正电荷的体密度为 $\rho = Ze / \frac{4}{3}\pi a^3$ ，故包含在半径

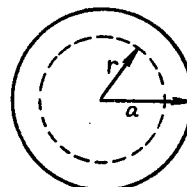


图 1.4.

为 r 的球体内的正电荷为 $Q = \frac{4}{3}\pi r^3 \rho = Ze r^3 / a^3$ ， α 粒子所带的正电荷为 $2e$ ，当 α 粒子在原子内离中心 r 远处时所受的斥力为 $F_1 =$

$=2eQ/r^2=2Ze^2r/a^3$, 由此可知, 当 α 粒子离中心愈近时所受的斥力愈小; 当其对准中心通过时, r 为零, 所受的斥力为零。在卢瑟福模型的情况下, α 粒子进入原子后所受的斥力愈来愈大, 与在湯姆孙模型中的情况相反, 因为这时排斥 α 粒子的正电荷 Ze 全集中在原子的中心固定不变, 当 α 粒子离中心的距离为 r 时, 所受的斥力为 $F_2=2e\cdot Ze/r^2=2Ze^2/r^2$, 故 α 粒子逐步接近中心时所受的斥力, 按距离的平方反比律随距离的减少而一直增大, 可以大到使 α 粒子偏轉很大的角度。在原子内离中心相同的距离 r 上, 在卢瑟福模型中所受的斥力 F_2 要比在湯姆孙模型中所受的斥力 F_1 大 $F_2/F_1=a^3/r^3$ 倍, 愈接近中心时, 在两种情形中所受的斥力相差愈大。根据以上的分析显然可見, 在湯姆孙模型的情形下 α 粒子不能产生大角度的散射, 而在卢瑟福的情形下可以产生大角度的散射。

在原子的核模型的基础上, 卢瑟福曾提出了下述的 α 粒子散射的定量理論, 以便可与实验結果作定量的比較, 从而可以进一步檢驗这个模型与散射理論。

在原子的核模型中 α 粒子的散射轨道如图 1.5 所示。由于电

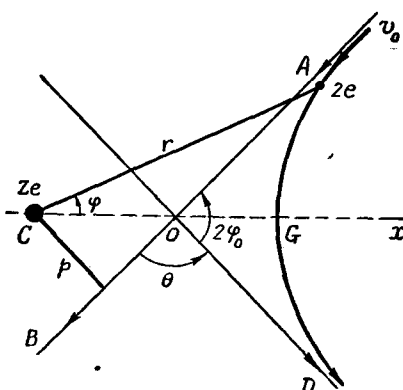


图 1.5. 在原子的核模型中 α 粒子散射时的轨道。

子的质量很小，对 α 粒子的作用很小，可以略去不计。所以，当 α 粒子接近原子核时，可以当作只是有两个带正电的点电荷（ α 粒子与原子核）相互以静电斥力作用，而且假设服从库伦定律。已知 α 粒子的电荷为 $2e$ ，若原子核的电荷为 Ze (Z 为一整数)，当两者相距 r 时，相互排斥的作用力为

$$F = \frac{2Ze^2}{r^2}.$$

若原子核的质量比 α 粒子的大很多，则可把前者看作是静止不动的。由于 α 粒子受原子核的斥力，它将偏转，而沿一双曲线的一支运动，原子核处在其外焦点处。当 α 粒子离开原子核时将沿 OD 方向运动，与其原来射入时的方向 AB 成 θ 的角度，如图 1.5 所示。我们可以算出 α 粒子的散射角度 θ 与粒子投射时的能量和瞄准距离 p 之间的关系。

设 α 粒子的质量为 M ，投射时以速度 v_0 沿 AB 方向向原子核投射，当接近原子核 C 时，受有斥力 F 的作用，在距核为 r 处速度改变为 v ，根据能量守恒与动量矩守恒定律，我们有：

$$\frac{1}{2}Mv_0^2 = \frac{1}{2}Mv^2 + \frac{2Ze^2}{r}, \quad (1.1)$$

$$Mv_0 p = M\left(r \frac{d\varphi}{dt}\right)r. \quad (1.2)$$

将公式(1.1)中的 v^2 用极坐标表示，则得：

$$v_0^2 = \left[\left(\frac{dr}{dt}\right)^2 + \left(r \frac{d\varphi}{dt}\right)^2 \right] + \frac{4Ze^2}{Mr}, \quad (1.3)$$

由(1.2)式得

$$\frac{d\varphi}{dt} = \frac{pv_0}{r^2}, \quad (1.4)$$

且

$$\frac{dr}{dt} = \frac{dr}{d\varphi} \frac{d\varphi}{dt} = \frac{pv_0}{r^2} \frac{dr}{d\varphi}. \quad (1.5)$$